

La logica sarà usare come input che sappiamo dell'esistenza dei bosoni massivi  $W^\pm$  e  $Z$ , e gli step sono:

- \* calcolare scattering di bosoni massivi all'ordine leading (tree-level) in teorie perturbative
- \* focalizzarsi su polarizzazioni esterne longitudinali
- \* imposta unitarietà dell'ampiezza di scattering

Vedremo che si pone un problema per l'unitarietà da cui le vie di uscite sono solo:

- raggiungere  $H$  con gli accoppiamenti che abbiamo visto
- approssimazione perturbativa si rompe

Queste erano le due opzioni possibili per un fisico teorico prima del 2012, ora sappiamo che la natura ha scelto la prima opzione!

Seguiamo Schwartz Cap. 29.

Prima di entrare nel vivo richiamiamo i concetti che servono

Polarizzazioni per vettore massivo:

Weinberg vol I  
5.3

$$\underbrace{W^\mu(x)}_{\substack{\text{campo vettoriale} \\ \text{massivo libero}}} = \sum_\sigma \int \frac{d^3 \vec{p}}{(2\pi)^3} \left[ u^\mu(\vec{p}, \sigma) \alpha(\vec{p}, \sigma) e^{i\vec{p} \cdot \vec{x}} + v^\mu(\vec{p}, \sigma) \alpha^+(\vec{p}, \sigma) e^{-i\vec{p} \cdot \vec{x}} \right]$$

assumiamo reale per  
semplicità

$\sigma$ : indice della rappresentazione del piccolo gruppo, che usiamo per costituire la rappresentazione di Poincaré del campo; labella lo stato di spin: piccolo gruppo =  $SO(3)$ .

Gli operatori di creazione e distruzione trasformano come uno stato di singola particelle:

$$U(\Lambda, b) \alpha(\vec{p}, \sigma) U^{-1}(\Lambda, b) = e^{i\Lambda \vec{p} \cdot b} \sqrt{\frac{E_{\Lambda \vec{p}}}{E_{\vec{p}}}}$$

$$D_{\sigma\bar{\sigma}} \left( (L(\Lambda \vec{p})^{-1} \Lambda L(\vec{p}))^{-1} \right) \alpha(\Lambda \vec{p}, \bar{\sigma})$$



$u^\mu(\vec{p}, \sigma)$  e  $v^\mu(\vec{p}, \sigma)$  sono "intertwining": trasformano la rappresentazione del piccolo gruppo sull'indice  $\sigma$  a quelle di tutto Lorentz sull'indice  $\mu$  del campo

$$u^\mu(\Lambda \vec{p}, \vec{\sigma}) D_{\vec{\sigma}\sigma} (W(\Lambda, \vec{p})) = \sqrt{\frac{E_{\vec{p}}}{E_{\Lambda\vec{p}}}} \quad \Lambda^\mu, u^\nu(\vec{p}, \vec{\sigma})$$

[ Convinciti che questo assicura la corrette trasformazione del campo:

$$U(\Lambda, b) W^\mu(x) U(\Lambda, b)^+ = (\Lambda^{-1})^\mu, \quad W^\nu(\Lambda x + b)$$

In particolare applicando a  $u, v(\vec{p}=0, \vec{\sigma})$  un boost  $L(\vec{p})$  per andare a momento  $\vec{p}$ , troviamo che  $W = \mathbb{I}$  e semplicemente:

$$u^\mu(\vec{p}, \vec{\sigma}) = \left( \frac{m}{E_{\vec{p}}} \right)^{1/2} \underbrace{L(\vec{p})}_\downarrow^\mu, \quad v^\nu(\vec{0}, \vec{\sigma})$$

boost di Lorentz da  $\vec{p}=0$  a  $\vec{p}$ .

Restringendoci a  $\vec{p}=0$  invece abbiamo solo trasformazioni del piccolo gruppo, rotazioni  $R$ , nel qual caso  $W=R$ .

Usando i generatori delle rappresentazioni:

$$u^\mu(\vec{0}, \vec{\sigma}) \vec{J}_{\vec{\sigma}\sigma} = \vec{J}^\mu, \quad u^\nu(\vec{0}, \vec{\sigma})$$

$$v^\nu(-\vec{J}_{\vec{\sigma}\sigma})^*$$

$$(D = e^{-i\vec{J}\cdot\vec{\omega}}, \quad \Lambda = e^{-i\vec{J}\cdot\vec{\omega}})$$

Usando che  $(J^k)^i_j = -i \epsilon_{ijk}$  e tutte le altre componenti di  $J^k$  sono 0, dall'eq. precedente troviamo che la rappresentazione  $\vec{J}_{\sigma\bar{\sigma}}$  si divide in due blocchi:

$u^0(\vec{0}, \sigma)$  è nella rappresentazione di spin  $j=0$   
di  $SO(3)$ :  $\vec{J}_{\sigma\bar{\sigma}} = 0$

$u^i(\vec{0}, \sigma)$  è nella rappresentazione di spin  $j=1$   
di  $SO(3)$ :  $(\vec{J}^2)_{\sigma\bar{\sigma}} = 2 \delta_{\sigma\bar{\sigma}}$  (in generale  $j(j+1) \delta_{\sigma\bar{\sigma}}$ ).  
 ↳ usiamo solo questa per descrivere un campo di spin 1

$j=1$  rappresentazione 3-dimensionale, possiamo labellare usando il valore del momento angolare  $J_{\sigma\bar{\sigma}}^3$ :  $\sigma = -1, 0, +1$

$$u(\vec{0}, 0) = v(\vec{0}, 0) = \frac{1}{\sqrt{2m}} \epsilon(\vec{0}, 0) \quad \text{applicando } J_1 \pm i J_2$$

$$u(\vec{0}, \pm 1) = -v(\vec{0}, \pm 1) = \frac{1}{\sqrt{2m}} \epsilon(\vec{0}, \pm 1)$$

---

$\epsilon(\vec{0}, 0) = \begin{pmatrix} 0 \\ 0 \\ 1 \end{pmatrix}, \quad \epsilon(\vec{0}, \pm 1) = \mp \frac{1}{\sqrt{2}} \begin{pmatrix} 1 \\ \pm i \\ 0 \end{pmatrix}$

---

$$\epsilon^\mu(\vec{p}, \sigma) = L^\mu, \quad (\vec{p}) \in \nu(\vec{0}, \sigma)$$

Se facciamo boost solo nella direzione 3 rispetto a cui abbiamo diagonalizzato  $\vec{J}$ , le polarizzazioni non cambiano perché sono  $\perp$  alla direzione del boost mentre per 0 troviamo:

$$\begin{pmatrix} M \\ 0 \\ 0 \\ 0 \end{pmatrix} \xrightarrow{L(\vec{p})} \begin{pmatrix} E_{\vec{p}} \\ 0 \\ 0 \\ p \end{pmatrix}, \quad L(\vec{p}) = \begin{pmatrix} E_{\vec{p}}/m & 0 & 0 & p/m \\ 0 & 0 & 0 & 0 \\ 0 & 0 & 0 & 0 \\ p/m & 0 & 0 & E_{\vec{p}}/m \end{pmatrix}$$

$$\Rightarrow E(\vec{p}, \pm) = E(0, \pm), \quad E(\vec{p}, 0) = \underbrace{\frac{1}{m} \begin{pmatrix} p \\ 0 \\ 0 \\ E_{\vec{p}} \end{pmatrix}}$$

ponte spaziale  $\propto \vec{p}$ : polarizzazione longitudinale

Più in generale, con  $\vec{p} \neq 0$  è conveniente scegliere come componente di  $\vec{J}$  da diagonalizzare quella lungo  $\vec{p}$ :

$$E(\vec{p}, \pm) \equiv E_{\pm}(\vec{p}), \quad \boxed{E(\vec{p}, 0) = \frac{1}{m} \begin{pmatrix} |\vec{p}| \\ E_{\vec{p}} \vec{p} / |\vec{p}| \end{pmatrix} \equiv E_L(\vec{p})}$$

$$\frac{\vec{J} \cdot \vec{p}}{|\vec{p}|} = \pm 1$$

$$\frac{\vec{J} \cdot \vec{p}}{|\vec{p}|} = 0 \quad \text{polarizzazione longitudinale}$$

polarizzazioni

trasverse: solo  
spaziali, base ortonormale  
 $\perp \propto \vec{p}$ .

$$\text{Nota che: } \begin{cases} E_T^{\mu} p_{\mu} = 0 \\ E_L^{\mu} p_{\mu} = 0 \end{cases}$$

$$E_i \cdot E_j^* = -\delta_{ij} \quad i, j = \pm, L$$

Nel limite di alte energie:  $E_{\vec{p}} \sim |\vec{p}| \gg m$

$$E_L^u(\vec{p}) \sim \frac{1}{m} \left( \frac{E_{\vec{p}}}{|\vec{p}|} \right) + \mathcal{O}\left(\frac{m}{E_{\vec{p}}}\right) = \frac{1}{m} p^u + \mathcal{O}\left(\frac{m}{E_{\vec{p}}}\right)$$

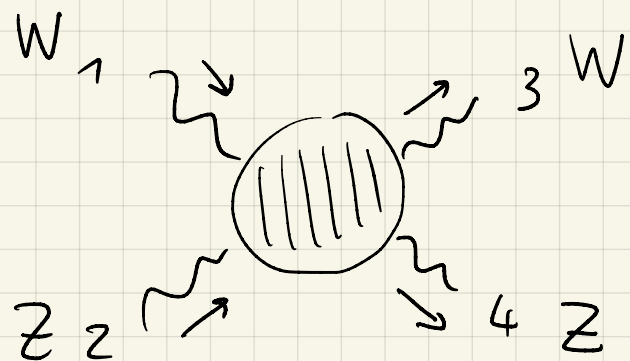
Questa è la proprietà fondamentale delle polarizzazioni longitudinali che dà luogo al bound, il fatto che le componenti crescano nel limite di alte energie. Per semplificazione il conto potremmo voler

usare solo: ?  $E_L^u(\vec{p}) = \frac{1}{m} p^u$ ? Problema: non rispetta

$P \cdot E = 0$ , non è una valida polarizzazione per spin 1.

Quello che fanno è aggiungere a  $\frac{1}{m} p^u$  un termine che dipende dalla cinematica in modo da assicurare  $E \cdot P = 0$ , tenere lo sviluppo di  $E_L$  vero e proprio complicherebbe il calcolo.

Per la nostra applicazione consideriamo un esperimento di scattering con 4 vettori con polarizzazione L:



$$P_1 + P_2 = P_3 + P_4$$

$$S = (P_1 + P_2)^2 = (P_3 + P_4)^2$$

$$T = (P_1 - P_3)^2 = (P_2 - P_4)^2$$

Note che  $T = 2M_w^2 - 2P_1 \cdot P_3 = 2M_w^2 - 2P_2 \cdot P_4$

Quindi una scelta di polarizzazione che ha le stesse cresce e rispetta  $E \cdot p = 0$  è:

$$\begin{aligned} E_1^{\mu} &= \frac{P_1^{\mu}}{M_w} + \left( \frac{2M_w}{t - 2M_w^2} P_3^{\mu} \right), & E_3^{\mu} &= \frac{P_3^{\mu}}{M_w} + \left( \frac{2M_w}{t - 2M_w^2} P_1^{\mu} \right) \\ E_2^{\mu} &= \frac{P_2^{\mu}}{M_z} + \left( \frac{2M_z}{t - 2M_z^2} P_4^{\mu} \right), & E_4^{\mu} &= \frac{P_4^{\mu}}{M_z} + \left( \frac{2M_z}{t - 2M_z^2} P_2^{\mu} \right). \end{aligned}$$

$\odot \left( \frac{M}{E_p} \right)$